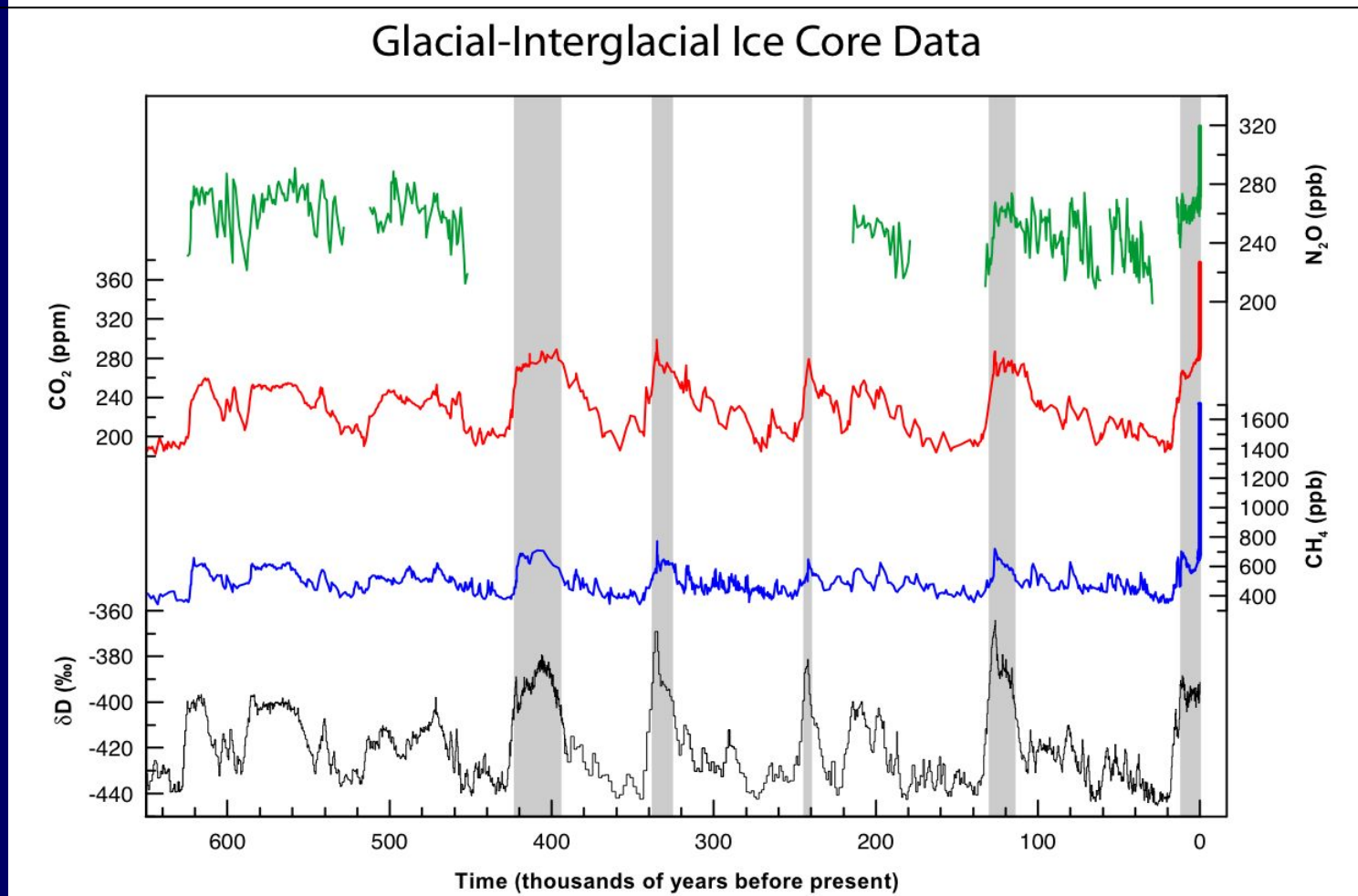
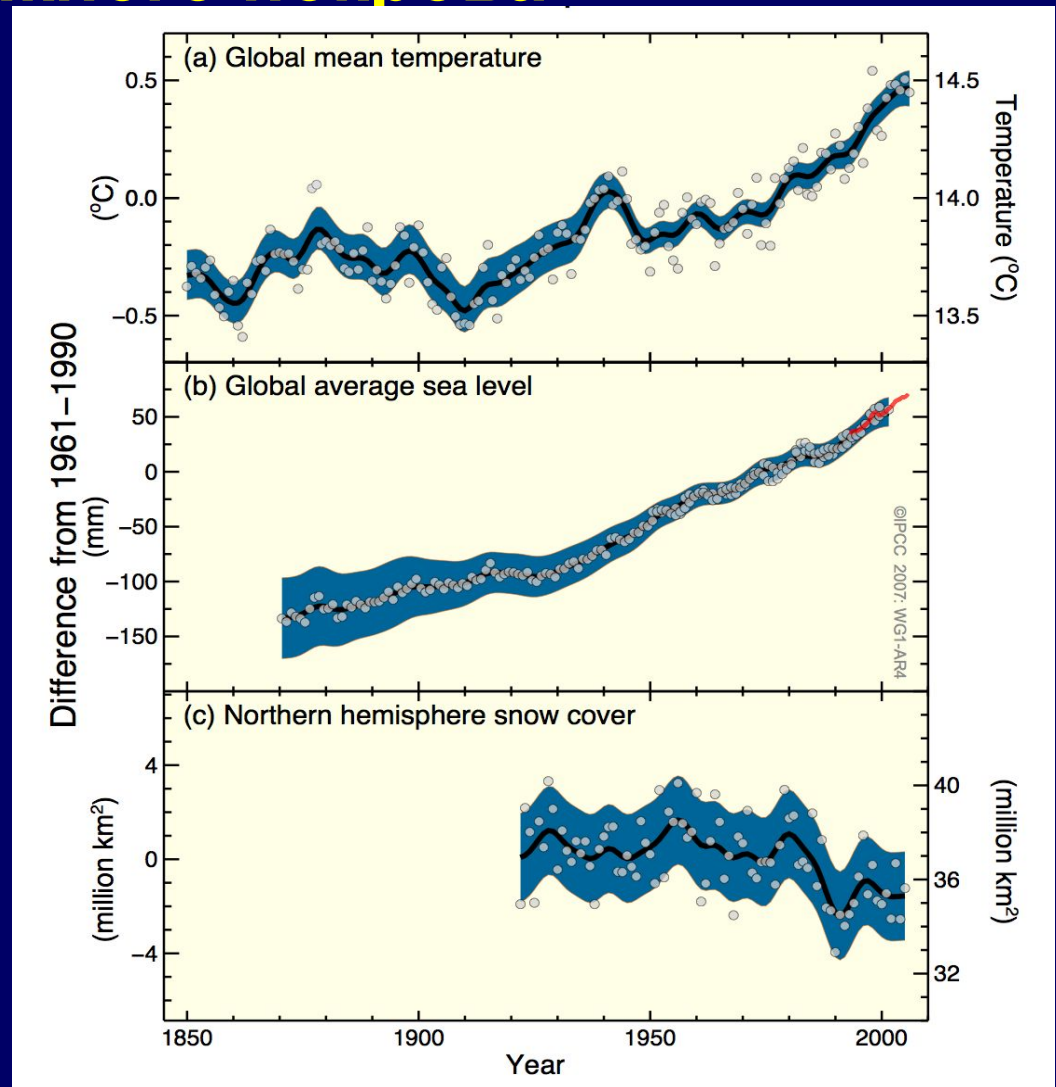


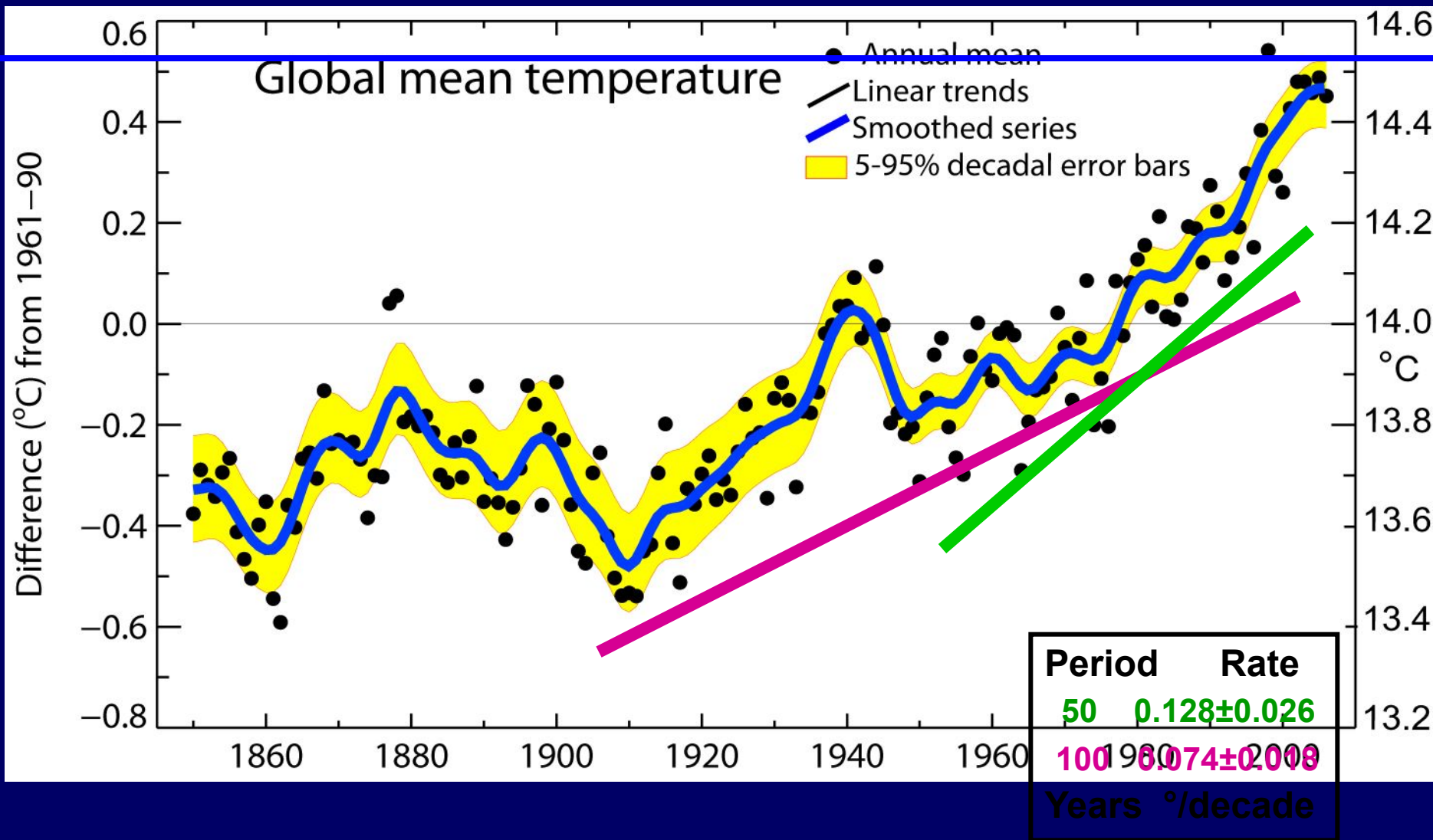
Концентрации N_2O , CO_2 и CH_4 , а также дейтерия (индикатора температуры) по данным ледяного керна «Восток»



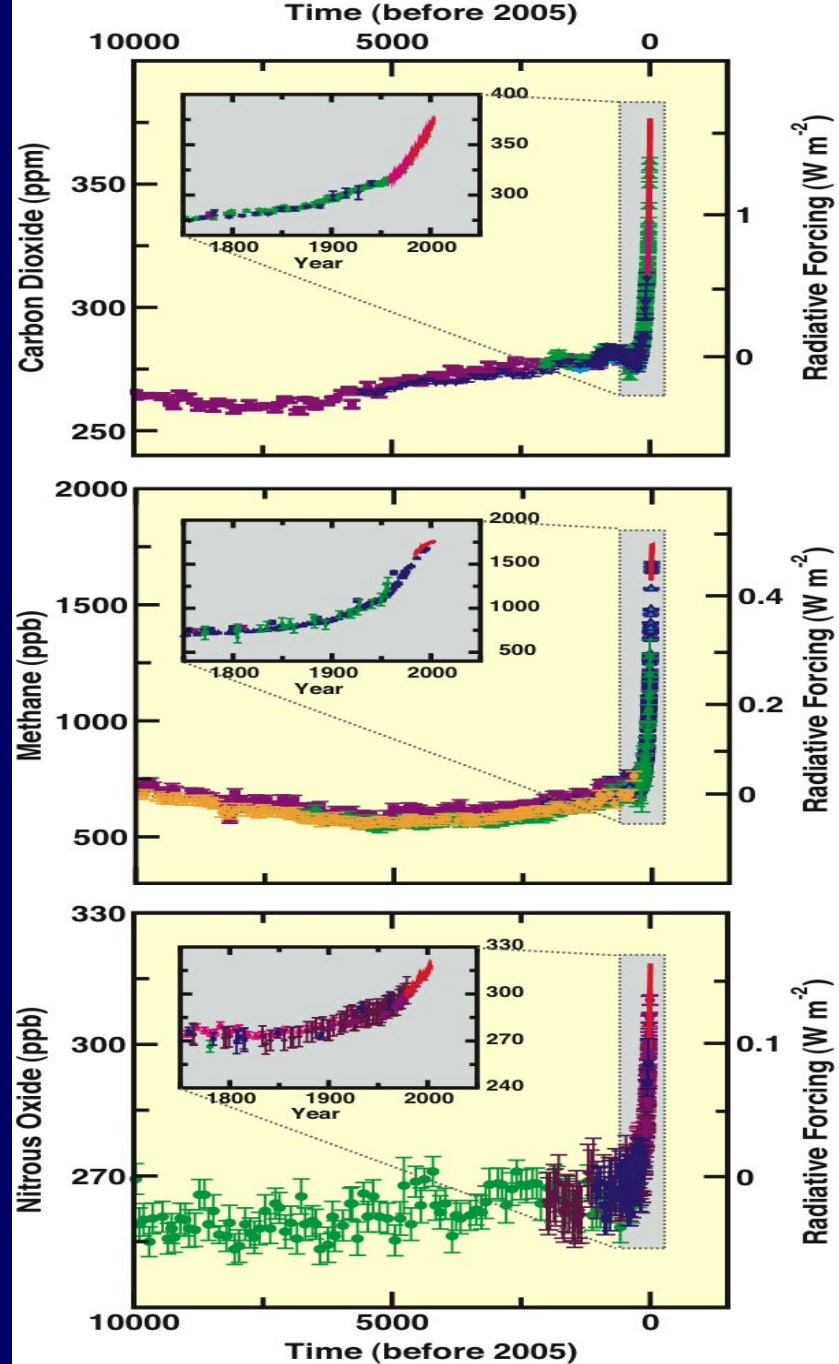
Изменения температуры, уровня океана, снежного покрова



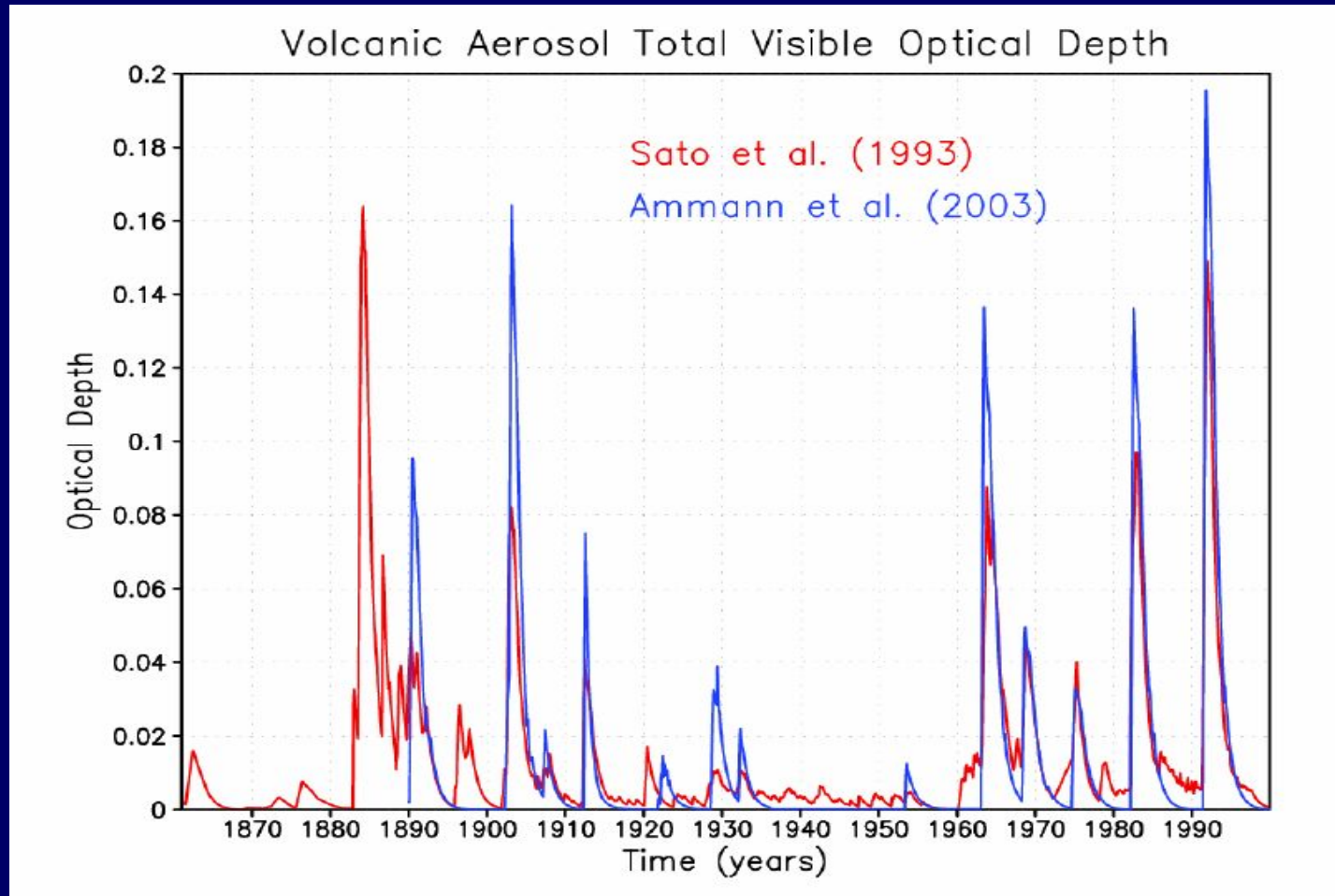
Рост глобальной температуры



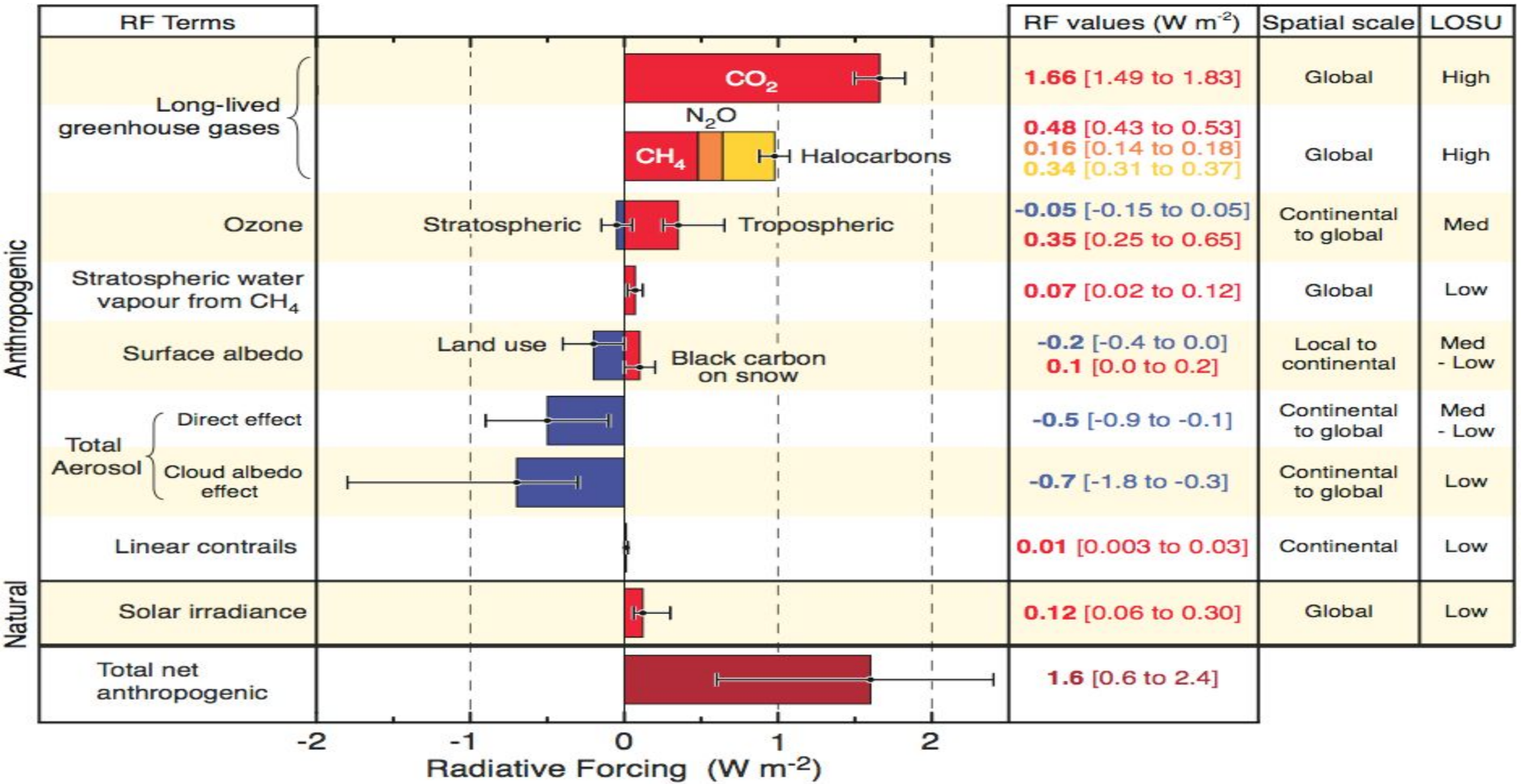
Изменение концентрации парниковых газов (по данным измерений и реконструкциям) и соответствующее радиационное воздействие



Оптическая толщина вулканического аэрозоля

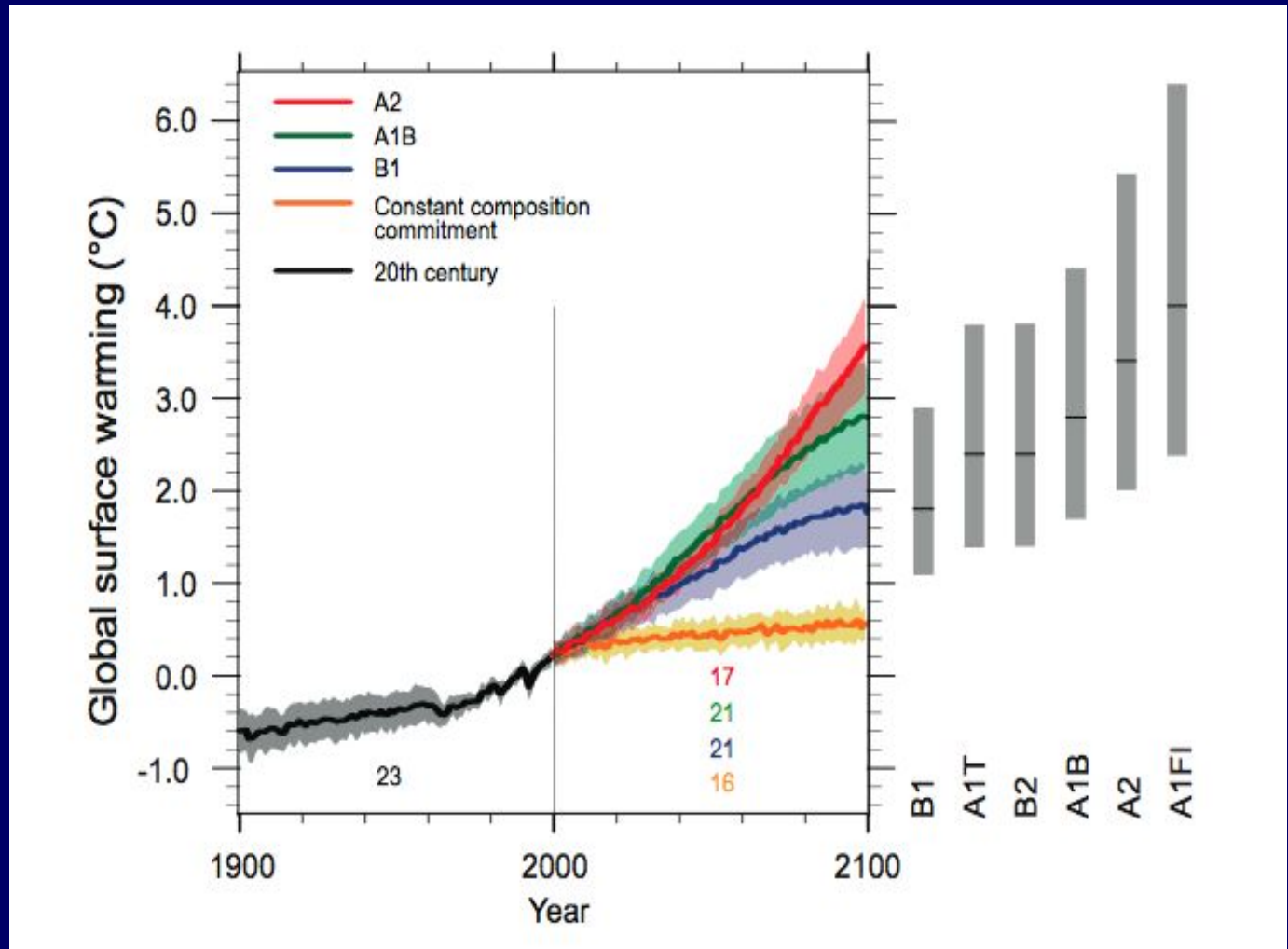


Глобально-осредненное радиационное воздействие

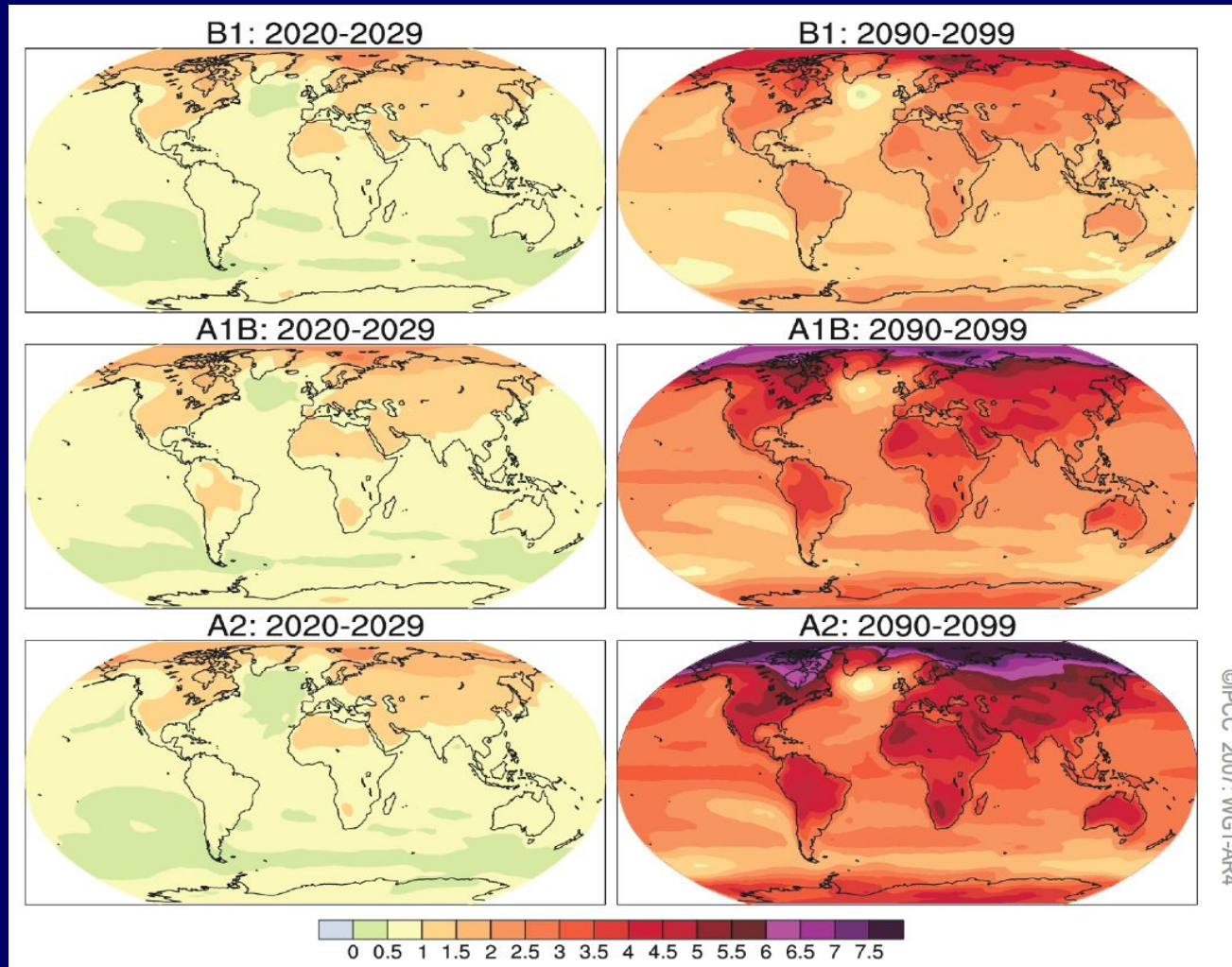


©IPCC 2007: WG1-AR4

Прогноз будущих изменений климата на основе различных сценариев

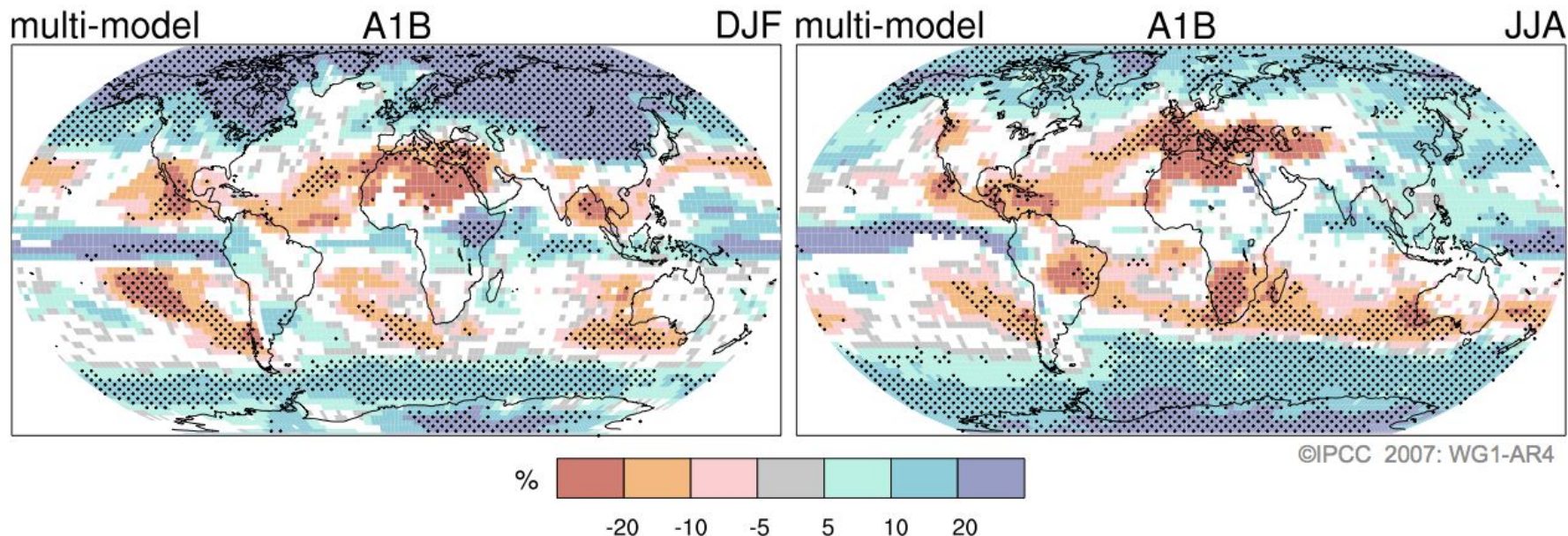


Прогноз изменений температуры (для разных сценариев)

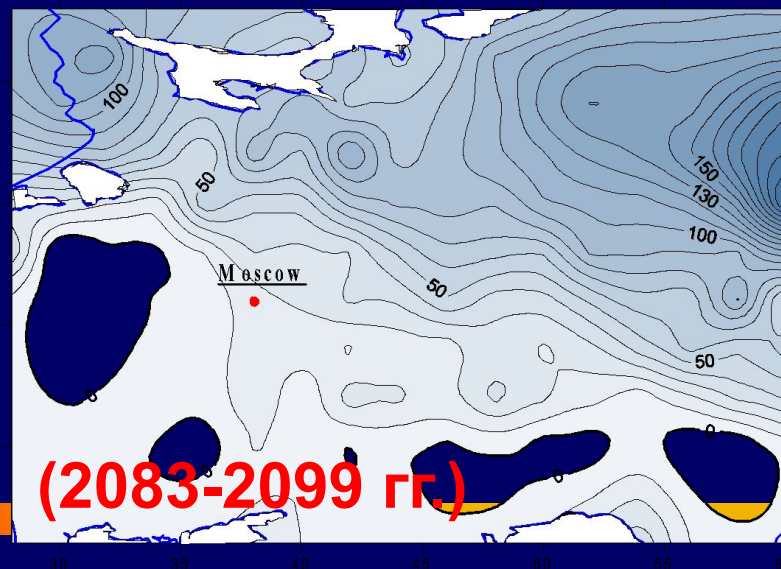
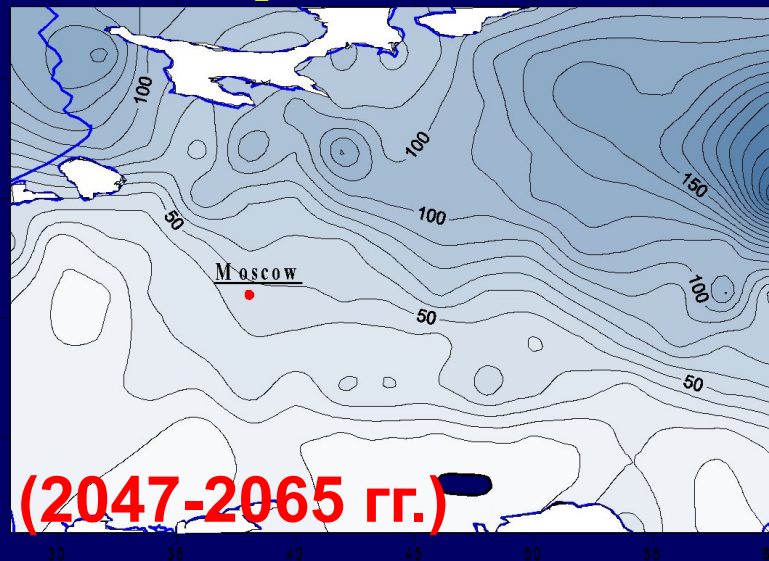
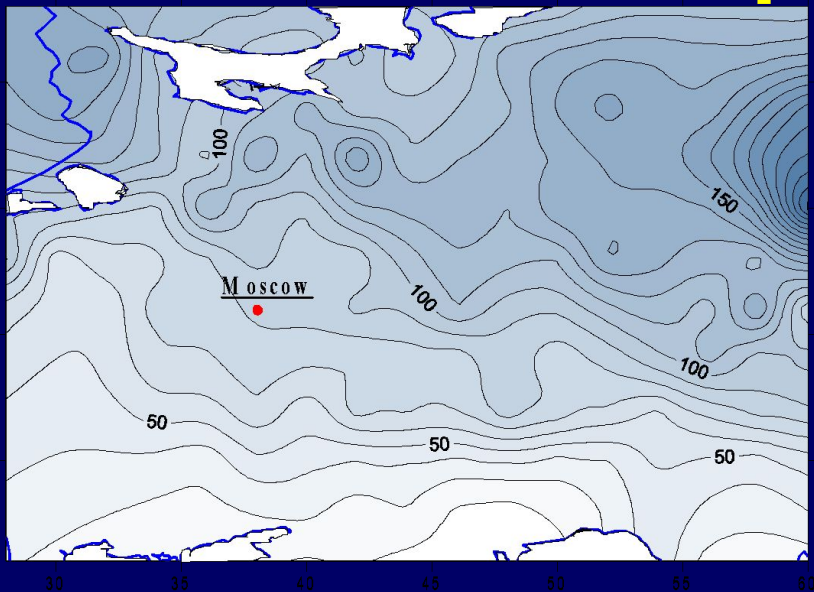


Прогноз изменений осадков для зимы Северного полушария (DJF) и (JJA)

Projected Patterns of Precipitation Changes



Динамика снежного покрова Восточно-европейской равнины

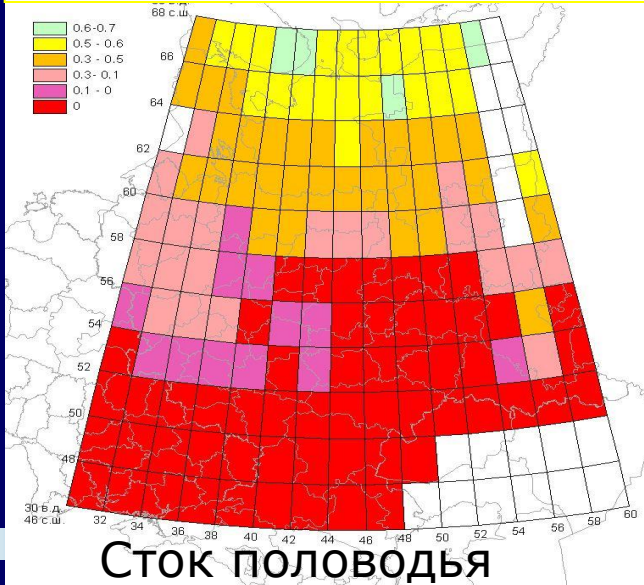


Современный (1966-1989 гг.)

Водный эквивалент, мм

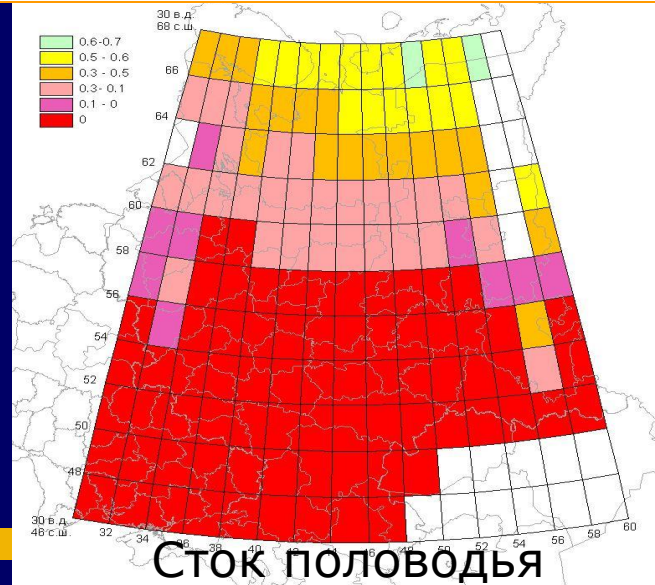
(А.В.Кислов и др., 2008)

Изменения стока (годового и весеннего половодья) в долях от базисного

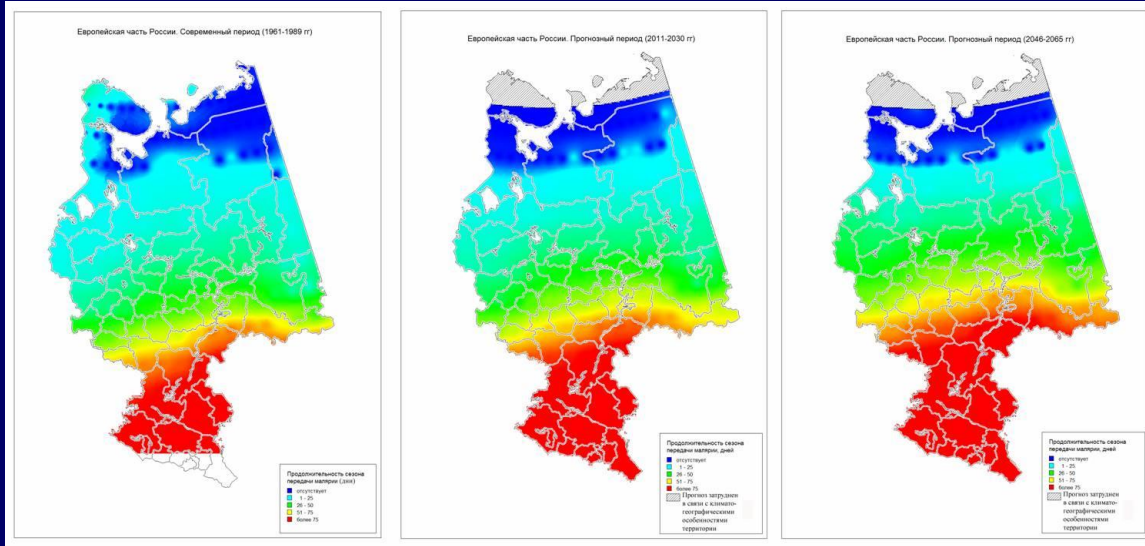


Сток Волги (в процентах от базисного):
88% (середина столетия)
78% (конец XXI века)

(В.М.Евстигнеев, М.В. Сидорова, А.В.Кислов и др., 2008)

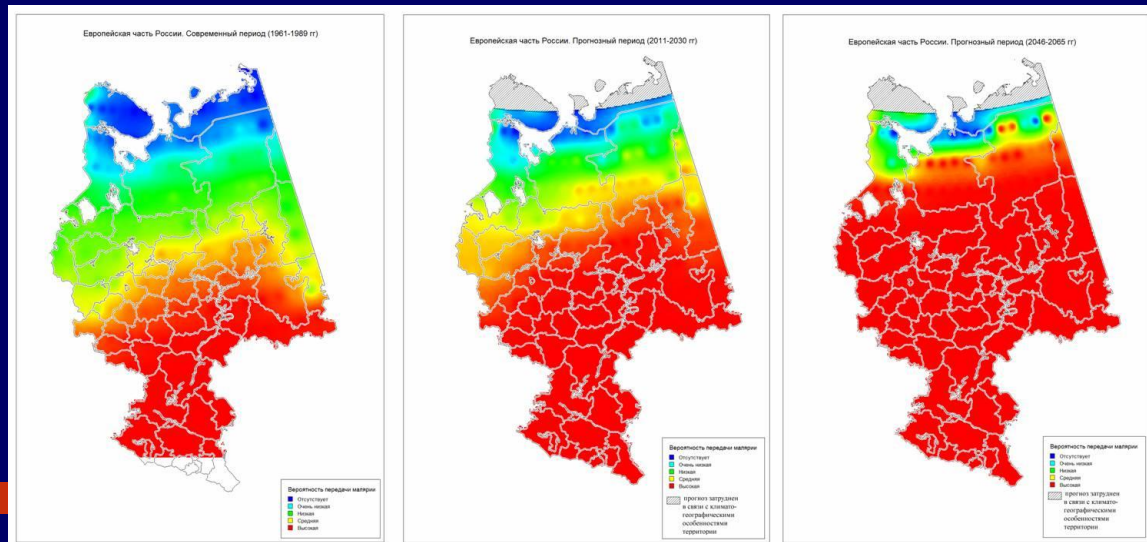


Малярия: современное состояние, первая четверть и середина 21 века



Продолжительность сезона передачи малярии на Европейской части России

Вероятность передачи малярии на Европейской части России



(С.М.Малхазова, Н.В.Шартова, А.В.Кислов и др., 2008)